# **Контроль параметров изделий электронной техники в** микрополосковых линиях передачи

А.А. Терентьев<sup>1,3</sup>, Е.А. Лупанова<sup>2</sup>, С.М. Никулин<sup>2,3</sup>

Аннотация: в работе обсуждаются перспективы векторного анализа SMD-электронных компонентов и интегральных схем в микрополосковых линиях передачи, основанного на сочетании оконной фильтрации квазипериодических функций с решением системы линейных уравнений в комплексной области. Предлагаемое решение исключает ошибки повторяемости разъемных соединений и позволяет проводить векторный анализ изделий электронной техники в линиях передачи, изготовленных из различных материалов: ламинатов RT и RO, углеводородной керамики, а также на основе кварцевого стекла, керамики и стеклокерамики.

**Ключевые слова:** микрополосковая линия, характеристический импеданс, коаксиально-полосковый переход, четырехполюсники ошибок.

### 1. Введение

Векторный анализ SMD-электронных компонентов и интегральных схем в микрополосковых направляющих системах выполняют анализаторами цепей с коаксиальными соединителями в специальной оснастке - контактных устройствах, обеспечивающих переходы с коаксиальных линий в микрополосковую линию, в которую поджимом или пайкой устанавливают контролируемое изделие. В контактном устройстве происходит трансформация плоской электромагнитной волны, распространяющейся в коаксиальном волноводе, в квази-плоскую волну в микрополосковой линии, и наоборот при распространении волны в обратном направлении. Трансформация электромагнитных волн сопровождается возбуждением не распространяющихся электромагнитных волн высших типов в локальных областях коаксиально-полосковых переходов. Всю совокупность электромагнитных процессов, происходящих в контактном устройстве, моделирует трехкаскадная электрическая цепь, представленная на рисунке 1.

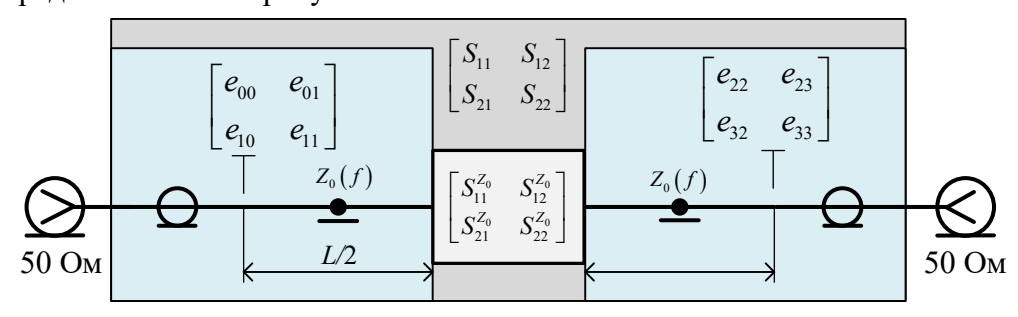


Рисунок 1. Схемная модель контактного устройства с контролируемым объектом.

Крайние коаксиально-полосковые схемы с S-параметрами  $e_{ik}$  i,k=0,1 и  $e_{ik}$  i,k=2,3 в векторном анализе электрических цепей называют

<sup>&</sup>lt;sup>1</sup>Институт прикладной физики им. А.В. Гапонова-Грехова РАН, г. Нижний Новгород

<sup>&</sup>lt;sup>2</sup>Нижегородский государственный технический университет им. Р.Е. Алексеева

<sup>&</sup>lt;sup>3</sup>ООО «Скоростные системы связи», г. Нижний Новгород

четырехполюсниками ошибок  $^1$  . Волновые параметры электронного компонента  $S^{Z_0}_{ik}\left(f\right), i,k=1,2$  относительно частотно-зависимого характеристического импеданса  $Z_0\left(f\right)$  микрополосковой линии определяют процедурой экстракции четырехполюсников ошибок из соотношений:

$$S_{11}^{Z_{0}} = \left( \left( \det S - e_{00} S_{22} \right) e_{22} - \left( S_{11} - e_{00} \right) \det S^{b} \right) \right) / D, S_{12}^{Z_{0}} = S_{12} e_{10} e_{32} / D,$$

$$S_{22}^{Z_{0}} = \left( \left( \det S - e_{33} S_{11} \right) e_{11} - \left( S_{22} - e_{33} \right) \det S^{a} \right) / D, S_{21}^{Z_{0}} = S_{21} e_{01} e_{23} / D,$$

$$D = e_{11} \left( e_{22} \det S - S_{11} \det S^{b} \right) + \left( \det S^{b} - S_{22} e_{22} \right) \det S^{a},$$

$$\det S^{a} = e_{00} e_{11} - e_{01} e_{10}, \det S^{b} = e_{22} e_{33} - e_{23} e_{32}, \det S = S_{11} S_{22} - S_{21} S_{12}.$$

$$(1)$$

Основная погрешность определения параметров четырехполюсников ошибок и измерения  $S^{Z_0}_{ik}(f)$  связана с проблемой повторяемости разъемных соединений [1,2]. В работе предлагаются способы преодоления этого негативного эффекта.

## 2. Lrt-метод векторного анализа в микроволновых направляющих системах

Предлагаемый Lrt-метод векторного анализа объектов в микрополосковых линиях передачи отличается от известных решений тем, что вместе со строгим решением систем уравнений с комплексными неизвестными в частотной области использует способы фильтрации данных, характерные для временных методов зондирования. Такой подход позволяет сократить количество калибровочных мер волнового сопротивления до одной ключевой меры и тем самым преодолеть проблему повторяемости разъемных соединений.

Определение параметров четырехполюсников ошибок основано на измерении S-параметров  $S^L_{ik}(f)$  и коэффициентов отражения  $S^R_{11}(f)$  и  $S^R_{22}(f)$  контактного устройства с отрезком электрически длинной микрополосковой линии в режиме холостого хода на свободном конце. Последовательность измерений  $S^R_{11} \to S^L_{ik} \to S^R_{11}$  свободна от погрешности повторяемости разъемных соединений и позволяет определить поправки на направленность  $e_{00}(f)$ ,  $e_{33}(f)$  и отношение  $e_{01}/e_{32} = k(f)$  как средние линии квазипериодических комплексных функций частоты f:

$$e_{00}(f) \to \tilde{S}_{11}^{L}(f), e_{33}(f) \to \tilde{S}_{22}^{L}(f),$$

$$e_{01}/e_{32} = k(f) \to \tilde{K}(f) = \sqrt{\left(S_{11}^{R}(f) - e_{00}(f)\right)/\left(S_{22}^{R}(f) - e_{33}(f)\right)}.$$
(2)

Математическую операцию поиска средних линий в (1) выполняют адаптивным фильтром типа скользящее окно [5]. Существенно, что эти три параметра четырехполюсников ошибок получают не решением калибровочных уравнений на каждой частоте f, а математической процедурой фильтрации во всем частотном диапазоне.

Согласование источников  $e_{11}$ ,  $e_{22}$  определяют из S-параметров  $S^{\scriptscriptstyle L}_{\scriptscriptstyle ik}(f)$  :

$$e_{11}(f) = k(f)(S_{22}^{L}(f) - e_{33}(f))/S_{12}^{L}(f),$$

$$e_{22}(f) = (S_{11}^{L}(f) - e_{00}(f))/(S_{21}^{L}(f)k(f)),$$
(3)

<sup>1</sup> Здесь использованы общепринятые обозначения четырехполюсников ошибок [1,2].

а поправки на прохождение  $e_{10}e_{32}$ ,  $e_{01}e_{32}$  и на отражение  $e_{10}e_{01}$ ,  $e_{23}e_{32}$  из коэффициентов передачи  $S_{21}^L(f)$  и  $S_{12}^L(f)$ :

$$e_{10}e_{32} = (1 - e_{11}(f)e_{22}(f))S_{21}^{L}(f),$$

$$e_{01}e_{23} = (1 - e_{11}(f)e_{22}(f))S_{12}^{L}(f),$$

$$e_{10}e_{01} = (1 - e_{11}(f)e_{22}(f))k(f)S_{21}^{L}(f),$$

$$e_{23}e_{32} = (1 - e_{11}(f)e_{22}(f))S_{12}^{L}(f)/k(f).$$
(4)

Измерение коэффициента передачи  $S_{21}^T(f)$ с отрезком короткой линии длиной l позволяет вместе с  $S_{21}^L(f)$  определить фазовую скорость v(f) и коэффициент затухания  $\alpha(f)$  распространяющихся в микрополосковой линии электромагнитных волн фазоразностным методом из соотношений [4,5]:

$$v(f) = -2\pi f \Delta L / (\arg(t(f)) - n\pi), n = 0, 1, 2...$$

$$\alpha(f) = -\ln|t(f)| / \Delta L, \Delta L = L - l,$$

$$t(f) = S_{21}^{L}(f) / S_{21}^{T}(f) = \exp(-\alpha(f)\Delta L - i2\pi f \Delta L / v(f)).$$
(5)

Аналитическую частотную зависимость характеристического импеданса  $Z_0(f)$  [6] во всем (либо заданном) частотном диапазоне работы векторного анализатора цепей предлагается получать с помощью  $Z_0^{\text{Line}}(f)$  схемного аналога микрополосковой линии, например, GPW1LINE в системе автоматизированного проектирования AWR из соотношений:

$$Z_{0}(f) = Z_{0}(f_{0}) \left\{ q(f) - \left[ q(f) - 1 \right] \frac{\varepsilon_{r} - \varepsilon_{eff}(f)}{\varepsilon_{r} - \varepsilon_{eff}(f_{0})} \right\} = Z_{0}^{Line}(f),$$

$$Z_{0}^{Line}(f) = 50 \frac{\left( 1 + S_{11}^{Line}(f) - \left( S_{21}^{Line}(f) \right)^{2} \right)}{\left( 1 - S_{11}^{Line}(f) - \left( S_{21}^{Line}(f) \right)^{2} \right)}.$$
(6)

Здесь  $\varepsilon_{\rm eff}(f) = (v(f)/v_0)^2$  - относительная эффективная диэлектрическая проницаемость микрополосковой линии, q(f) < 1 - степенная функция частоты f, определяемая по частотной зависимости характеристического импеданса  $Z_0^{\rm Line}(f)$ , а  $\varepsilon_r$  - относительная диэлектрическая проницаемость изоляционного основания схемного аналога, которую находят из условия  $Z_0^{\rm Line}(f \to f_0, \varepsilon_r) = Z_0(f \to f_0)$ [5].

Если процедура определения параметров четырехполюсников ошибок предлагаемым Lrt- методом выполнена успешно, то в задаче контроля S-параметров изделий электронной техники преодолеть проблему повторяемости разъемных соединений существенно проще. Контролируемые объекты следует устанавливать не на минимально допустимых, как рекомендуют в [1,2], а на достаточно больших расстояниях от коаксиально-полосковых переходов, близких к L/2. Такое положение объекта в микрополосковой линии позволяет исключить погрешность повторяемости в S-параметрах, полученных из соотношений (1) их фильтрацией адаптивным фильтром типа «скользящее окно» [5]. Процедуру фильтрации следует выполнять не

для модулей и аргументов комплексных функций, а для их реальных и мнимых частей.

## 3. Экспериментальные результаты

Экспериментальная оценка эффективности векторного анализа цепей микрополосковых направляющих системах была проведена в заземленной слабосвязанной копланарной линии, изготовленный из углеводородной керамики R04350B. Контролируемые объекты могут устанавливаться в копланарную линию

поджимом, как показано на рисунке 2, или пайкой.



Рисунок 2. Контактное устройство с копланарной линией из углеводородной керамики R04350B

Эффективность векторного анализа цепей в микрополосковых подтверждают результаты измерений коэффициентов отражения от нагрузки короткого замыкания, холостого хода, оконечной нагрузки - SMD-резистора типоразмера 0805 с номинальным сопротивлением 50 Ом и от контактной площадки микрополоскового проводника под резистором, представленные на рисунке 2.

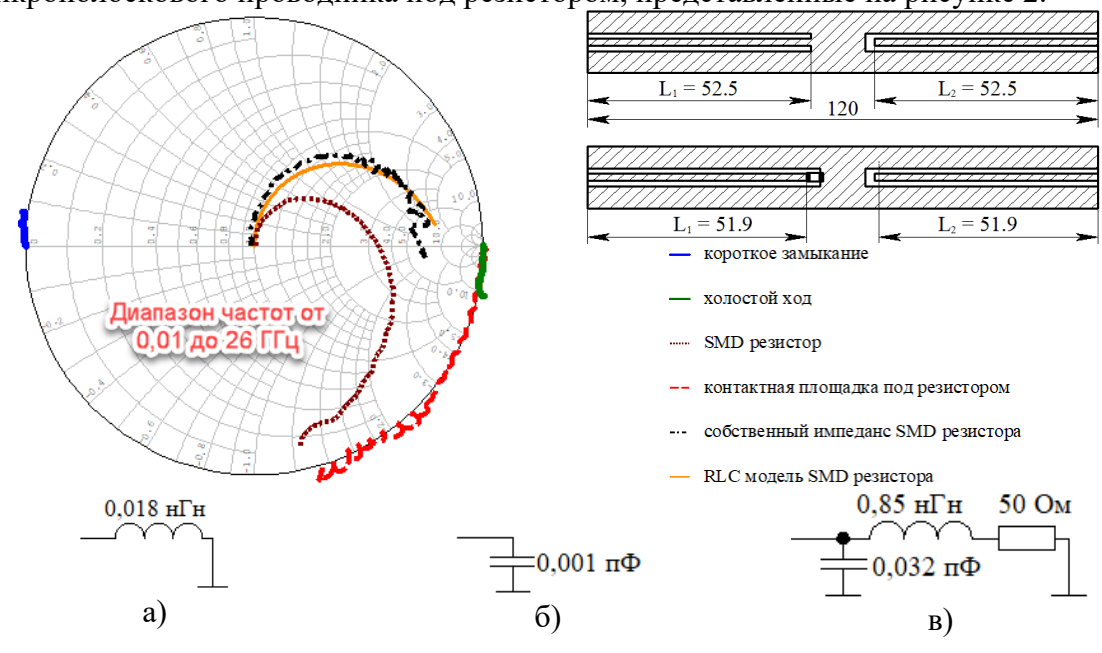


Рисунок 3. Комплексные импедансы контролируемых объектов на диаграмме полных сопротивлений исхемы замещения: a – короткого замыкания;  $\delta$  – холостого хода;  $\epsilon$  – SMD резистора

Экспериментальная оценка волнового сопротивления копланарной линии показала практически постоянную величину характеристического импеданса  $Z_0(f) = 48,3$  Ом в диапазоне частот от 0,01 до 26,0 ГГц. Результаты измерений контролируемых объектов в стандартном коаксиальном канале 3,5/1,5 мм были преобразованы экстракцией четырехполюсников погрешностей (1) в  $S^{Z_0}_{ik}(f)$ с учетом их физических границ, расположенных на расстояниях  $L_1$  и  $L_2$  от коаксиально-полосковых переходов, показанных на рисунке 3. Затем полученные коэффициенты отражения  $S^{Z_0}_{11}(f)$  и  $S^{Z_0}_{22}(f)$  были трансформированы к стандартному волновому сопротивлению 50 Ом и обработаны адаптивными фильтрами типа «скользящее окно». Полученные результаты, представленные на диаграмме полных сопротивления, и схемные аналоги оконечных нагрузок демонстрируют работоспособность Lrt-метода векторного анализа объектов в микрополосковых линиях передачи.

## 4. Заключение

Предлагаемое в работе решение задачи векторного анализа цепей микрополосковых линиях передачи авторы назвали Lrt-методом. Заглавная L указывает на использование ключевой калибровочной меры волнового сопротивления для определения параметров четырехполюсников ошибок – отрезка электрически длинной микрополосковой линии, прописная r — на дополнительное измерение с этой мерой коэффициентов отражения в режимах холостого хода. Прописная t обозначает измерение коэффициента передачи  $S_{21}^{T}(f)$  с короткой линией, необходимое для определения вместе с  $S^{\scriptscriptstyle L}_{\scriptscriptstyle 21}(f)$  фазовой скорости и коэффициента затухания. Казалось бы, ввиду недостатка измерительной информации, невозможно определить шесть параметров четырехполюсников погрешности, постоянную распространения электромагнитной волны и волновое сопротивление микрополосковой линии. Однако использование процедуры фильтрации квазипериодических комплексных функций частоты адаптивным фильтром типа скользящее окно, позволяющее дополнительно найти три неизвестные комплексных величины:  $e_{11}$ ,  $e_{22}$ ,  $e_{01}/e_{32}$ , что не только приводит к корректному решению поставленной задачи, но и обеспечивает исключение погрешности повторяемости разъемных соединений.

### Список литературы

- 1. Хибель М. Основы векторного анализа цепей. Издательский дом МЭИ. 2009.
- 2. Дансмор Д. П. Настольная книга инженера. Измерения параметров СВЧ-устройств с использованием передовых методик векторного анализа цепей Москва: Техносфера. 2018.
- 3. Das N. K., Voda S. M., Pozar D. M., IEEE Transactions on Microwave Theory and Techniques, 1987, vol. 35, no. 7.
- 4. Кунрод Д., Рентюк В. Определение параметров материалов печатных плат в миллиметровом диапазоне // СВЧ-электроника. 2019, № 3.
- 5. Терентьев А. А., Лупанова Е. А., Никулин С. М., Петров В. В. Контроль параметров печатных полосковых линий в микроволновом диапазоне электромагнитных волн. Измерительная техника, 2024,73(6).
- 6. Лупанова Е. А., Никулин С. М. Метод определения собственных параметров полосковых линий передачи // Измерительная техника. 2021. №. 5.